

名古屋大学 正員 川本勝万

学生員 梶田建夫

○学生員 宮池克人

1. 未元がき

有限要素法による解析過程は、つきの三つに分けられる。まず構造物を不連続な要素の集合に分割することであり、次に要素の Stiffness を計算すること、次に全体の要素に対する構造解析で、各要素の Stiffness Matrix を加え合せ、全体の Stiffness Matrix を作り、二つの行列の逆行列を計算して、節点に作用する外力 $\{R\}$ と、それによる変位 $\{u\}$ との間の関係 $\{u\} = \{K\}^{-1} \cdot \{R\}$ が、与えられた荷重による変形量を計算する。以上の過程における問題は、次のようなものである。一に、構造物は、実際には無限個の要素の集合であるわけだが、これを有限個の要素の集合として取り扱うためには、要素分割の増加、つまりれば個々の要素が小さくなるに従い、2. 解の収束性が保証される必要がある。この保証なくして、要素分割を多くすれば厳密解に収束することは信するのに危険である。二に、使う大きな Stiffness Matrix を、連立方程式の係数項として解くにあたっては、電子計算機を用いるのが好い。その計算過程における解の収束性あるいは厳密性につけての保証がないのがむづかしい。

応力集中の生ずるような構造物の解析に有限要素法を適用するにあたっては、応力集中域の危険な応力およびひずみ状態の変化を忠実に表現しきるべく、その領域における要素分割はより細分することになり、上に述べたような問題につき合むことから、本文では要素分割の増加、および分割パターンの形状による解の収束性の理論的検討および、数値計算における解の検討を行つて、要素分割の増加に伴う解の収束性について検討する。

二の部分に、解の精度を高めるための要素内で応力およびひずみが線型に変化するべく作られた、二節点三角形要素があり、これを用いて解析を行つた場合の数値計算における解の検討を行つ。

2. 三角形二節点要素の解の収束特性

この問題を検討するにあたっては、Joseph E. Walsh^{*}らは、注目する節点の力のつり合ひ式と、変位変数を用いて求め、一般の有限要素式を用いた。この有限要素式は、節点における Taylor 展開を用いており、有限要素式に等価な微分方程式に書き換えられる。これを、有限要素法で近似せんとする連続体の支配方程（力のつり合ひ式）と比較することにより検討が行われる。

ここで引いた方向の変位によって、考案された 2 次元平面応力状態におけるつり合ひ方程式は次式で与えられる。

$$U_{xx} + \frac{1-\nu}{2} U_{yy} + \frac{1+\nu}{2} U_{xy} + \frac{P_x}{B} = 0 \quad (1)$$

$$\frac{1+\nu}{2} U_{xy} + \frac{1-\nu}{2} U_{yx} + U_{yy} + \frac{P_y}{B} = 0 \quad (2)$$

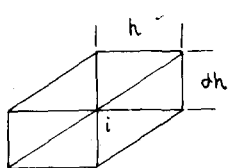
ここでし、 U はそれを引いた方向の変位、 P_x 、 P_y は分布荷重、 ν はボアソン比、 B は板の厚さ、 $B = Et / (1 - \nu^2)$ である。

つぎに、図-1に示す3角形要素の各パターンに対する、節点レジについて作成した有限要素式を、Taylor展開し、(1), (2)式と比較した結果を表-1に示す。

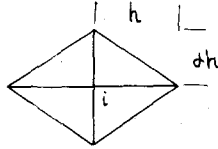
これらにすればパターンAおよびCは、丸が無限小になるに伴い(1), (2)式に収束し、エラーのオーダーは α^2 である。パターンBおよびDは、(1), (2)式の U_{xy} , U_{yy} の項の一一致を見ず、したがって丸が無限小に収束しても、(1), (2)式に収束せず、解の収束の保証が得られないことわかる。したがって解の収束に対する要素のパターンが大きく影響することを考慮してはならない。

表-1

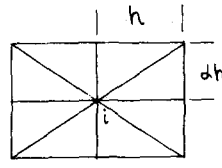
| Pattern Equation | Error terms |
|---------------------|---|
| A | $+ \frac{h^2}{12} [U_{xxxx} + \alpha^2 (-\frac{1-\mu}{2}) U_{yyyy} + 2\alpha U_{xxyy} + 3\alpha^2 U_{xxyy} + 2\alpha^3 U_{xyyy}] + \dots$ |
| | $+ \frac{h^2}{12} [2\alpha U_{xxxx} + 3\alpha^2 U_{xxyy} + 2\alpha^3 U_{xyyy} + (\frac{1-\mu}{2}) U_{xxxx} + \alpha^2 U_{yyyy}] + \dots$ |
| B | $- \frac{1+\mu}{2} U_{xy} + \frac{h^2}{12} [U_{xxxx} + \frac{1-\mu}{2} \alpha^2 U_{yyyy}] + \dots$ |
| | $- \frac{1+\mu}{2} U_{xy} + \frac{h^2}{12} [\frac{1-\mu}{2} U_{xxxx} + \alpha^2 U_{yyyy}] + \dots$ |
| C | $+ \frac{1+\mu}{2} U_{xy} + \frac{h^2}{12} [U_{xxxx} + \frac{1-\mu}{2} \alpha^2 U_{yyyy} + 2(1+\mu) U_{xxyy} + 2(1+\mu) \alpha^2 U_{xyyy}] + \dots$ |
| | $+ \frac{1+\mu}{2} U_{xy} + \frac{h^2}{12} [2(1+\mu) U_{xxyy} + 2(1+\mu) \alpha^2 U_{xyyy} + \frac{1-\mu}{2} U_{xxxx} + \alpha^2 U_{yyyy}] + \dots$ |
| D | $+ h^2 [\frac{7+\mu}{96} U_{xxxx} + \frac{1+\mu}{16} U_{xxyy} + \frac{1-\mu}{32} U_{yyyy} + \frac{1+\mu}{48} U_{xxyy} + \frac{1+\mu}{16} U_{yyyy}] + \dots$ |
| | $+ h^2 [\frac{1+\mu}{16} U_{xxyy} + \frac{1+\mu}{48} U_{yyyy} + \frac{1-\mu}{32} U_{xxxx} + \frac{1+\mu}{16} U_{xxyy} + \frac{7+\mu}{96} U_{yyyy}] + \dots$ |



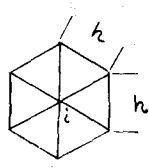
Pattern A



Pattern B



Pattern C



Pattern D

図-1

* Joseph E. Walz, Robert E. Fulton, and Nancy Jane Cyrus ACCURACY AND CONVERGENCE OF FINITE ELEMENT APPROXIMATIONS Presented at the Air Force Second Conference on Matrix Methods in Structural Mechanics NASA Langley Research Center Langley Station, Hampton, Va.

3. あとがき

3角形3節点要素による数値計算結果の検討および、3角形6節点要素による結果の検討については、当日発表するニルにし、ここでは省略する。

1969年 12月 20日